



Laboratorium Badań Środowiskowych  
ul. Józefa Piusa Dziekońskiego 3  
00-728 Warszawa  
e-mail: [Laboratorium@networks.pl](mailto:Laboratorium@networks.pl)



AB 419

S P R A W O Z D A N I E 13395/2023/OS  
Z POMIARÓW PÓL ELEKTROMAGNETYCZNYCH  
WYKONANYCH DLA POTRZEB OCHRONY ŚRODOWISKA

Badany obiekt: Instalacja radiokomunikacyjna T-Mobile Polska S.A.  
Numer i nazwa: 52753 (36009N!) KCZ\_WŁODOWICE\_GORAWŁODOWSKA  
Adres: GÓRA WŁODOWSKA, POPRZECZNA 10, ZAWIERCIAŃSKI, ŚLĄSKIE

Data wykonania pomiarów: 2023-12-18

Sprawozdanie z badań bez pisemnej zgody laboratorium nie może być powielane inaczej niż w całości.  
Wynik przedstawione w niniejszym sprawozdaniu odnoszą się wyłącznie do badanego obiektu i do warunków i konfiguracji urządzeń w dniu wykonywania pomiarów.

**1. Właściciel badanego obiektu:**

T-Mobile Polska S.A., ul. Marynarska 12, 02-674 Warszawa

**2. Zleceniodawca:**

T-Mobile Polska S.A., ul. Marynarska 12, 02-674 Warszawa

**3. Przedstawiciel zleceniodawcy:**

NetWorkS! Sp.z o.o.

**4. Zakres zlecenia:**

Wykonanie badania i opracowanie sprawozdania z pomiarów natężenia pola elektrycznego i pola magnetycznego dla instalacji radiokomunikacyjnej T-Mobile Polska S.A. zlokalizowanej w miejscowości GÓRA WŁODOWSKA, POPRZECZNA 10.

**5. Cel zlecenia:**

Wykonanie pomiarów pól elektromagnetycznych w otoczeniu instalacji radiokomunikacyjnej 52753 (36009N!) KCZ\_WLODOWICE\_GORAWLODOWSKA w odniesieniu do wymagań określonych w *Rozporządzeniu Ministra Klimatu z dnia 17 lutego 2020 r. w sprawie sposobów sprawdzania dotrzymania dopuszczalnych poziomów pól elektromagnetycznych w środowisku (Dz.U. 2022 poz. 2630)*.

**6. Pomiary zostały wykonane przez:**

Stanisławek Jakub  
Papka Paweł

**7. Informacje o źródłach pól elektromagnetycznych**

**7.1. Sposób identyfikacji badanych źródeł pól elektromagnetycznych**

Identyfikacji źródeł i parametrów technicznych dokonano na podstawie analizy dokumentacji dotyczącej zlecenia oraz obserwacji miejsca wykonywania badań.

**7.2. Opis miejsca zainstalowania anten i urządzeń technicznych. Opis obiektu badań i jego otoczenia**

Instalacja radiokomunikacyjna zlokalizowana jest na terenie ogrodzonym. Anteny zawieszono na wieży kratowej. Urządzenia sterujące oraz zasilające zainstalowano w szafie outdoor u podstawy wieży. Wokół instalacji znajdują się wieś, tereny rolnicze, tereny zielone. Instalacja radiokomunikacyjna jest obiektem bezobsługowym. Okresowe stanowiska pracy związane są z prowadzonymi w zależności od potrzeb konserwacjami, przeglądami, strojeniem i naprawami.

### 7.3. Parametry techniczne źródła pola elektromagnetycznego

Dane przedstawiające maksymalne parametry pracy instalacji przekazane przez zleceniodawcę:

Parametry systemu nadawczo-odbiorczego:

Charakterystyka promieniowania		kierunkowa					
Rzeczywisty czas pracy [h/dobę]		24					
Warunki pracy		znamionowe					
Rodzaj wytwarzanego pola		stacjonarne					
Lp.	Częstotliwość lub zakresy częstotliwości pracy [MHz]	Typ/producent anteny	liczba anten	Azymut [°]	kąt pochylenia* [°]	Wysokość środka elektrycznego anteny [m n.p.t.]	Równoważna moc promieniowana izotropowo (EIRP) [W]
1	800/900	80010817 Kathrein	1	80	4/2	50.7	7188
2	1800/2100	ASI4518R10v18 Huawei	1	80	3.8/3.8	50.7	12179
3	800/900	80010817 Kathrein	1	180	4.5/4	50.7	7188
4	1800/2100	ASI4518R10v18 Huawei	1	180	3.5/3.5	50.7	12179
5	800/900	80010817 Kathrein	1	340	5/4	50.7	7188
6	1800/2100	ASI4518R10v18 Huawei	1	340	4.3/4.3	50.7	12179

\* wskazane wartości kąta pochylenia anten, zgodnie z informacją uzyskaną od zleceniodawcy, są wartościami stałymi

Parametry radiolinii:

Charakterystyka promieniowania				kierunkowa			
Rzeczywisty czas pracy [h/dobę]				24			
Warunki pracy				znamionowe			
Rodzaj wytwarzanego pola				stacjonarne			
Lp.	Linia radiowa			Antena			
	Typ/ Producent	Częstotliwość pracy [GHz]	Równoważna moc promieniowana izotropowo (EIRP) [W]	Typ/ producent	Średnica anteny [m]	Azymut [°]	Wysokość zainstalowania n.p.t [m]
1.	NP CTR 600 HP 23GHz 2x56MHz XPIC Harris Stratex	23	4910	VHLP2-23 Andrew	0.6	76	48.5
2.	NEC iPasolink 100E Harris Stratex	38	708	VHLP1-38 Andrew	0.3	251	48
3.	Huawei RTN 905S XMC-3 Huawei	32	795	A32S03M-3X Andrew	0.3	269	48
4.	RTN XMC-3E 23G 28MHz XPIC / RTN 380AX DC 70/80GHz 250MHz Huawei	23/80	4689/6310	A23D80S06 Huawei	0.6	281	48.5

### 7.4 Inne źródła pól elektromagnetycznych

Na podstawie informacji otrzymanych od użytkownika oraz obserwacji otoczenia miejsca wykonywania pomiarów stwierdzono występowanie innych źródeł pola-EM, pracujących w systemie: telefonii komórkowej (800MHz-2600MHz), linii radiowych (5GHz – 90GHz), które istotnie wpływają na wyniki pomiarów.

Sprawozdanie z badań bez pisemnej zgody laboratorium nie może być powielane inaczej niż w całości.  
Wynik przedstawione w niniejszym sprawozdaniu odnoszą się wyłącznie do badanego obiektu i do warunków i konfiguracji urządzeń w dniu wykonywania pomiarów.

## 8. Opis pomiarów

### 8.1. Metoda badań

Zgodna z rozporządzeniem Ministra Klimatu z dnia 17 lutego 2020 r. w sprawie sposobów sprawdzania dotrzymania dopuszczalnych poziomów pól elektromagnetycznych w środowisku (Dz.U. 2022 poz. 2630), określona w pkt 25 ppkt 1 załącznika do niniejszego rozporządzenia.

### 8.2. Termin pomiarów i warunki środowiskowe

Podczas wykonywania pomiarów pól elektromagnetycznych nie występowały opady atmosferyczne. Wyniki pomiaru parametrów pogodowych przedstawia poniższa tabela:

Data [rrrr-mm-dd]	Godzina [hh:mm-hh:mm]	Warunki środowiskowe			
		Temperatura [°C]		Wilgotność względna [%]	
2023-12-18	09:40-11:00	Przed pomiarem	Po pomiarach	Przed pomiarem	Po pomiarach
		3.6	5.7	72.1	71.2

Przedstawione wyżej warunki środowiskowe, występujące podczas wykonywania pomiarów pól elektromagnetycznych, są zgodne ze specyfikacją techniczną użytego zestawu pomiarowego.

### 8.3. Warunki pracy urządzeń nadawczych

Podczas pomiarów w przypadku uzyskania wyniku pomiaru szerokopasmowego wykonanego zastosowaną metodą, dla zakresów częstotliwości od 10 MHz do 300 GHz, powiększonego o rozszerzoną niepewność pomiaru  $U$  dla współczynnika rozszerzenia  $k = 2$  przekraczającego 70% najniższej dopuszczalnej wartości składowej elektrycznej lub magnetycznej pola dla objętych pomiarami zakresów częstotliwości, uwzględnia się poprawki pomiarowe przekazane przez zleceniodawcę, umożliwiające uwzględnienie maksymalnych parametrów pracy instalacji zgodnie z pkt 7 załącznika do Rozporządzeniem Ministra Klimatu z dnia 17 lutego 2020 r. w sprawie sposobów sprawdzania dotrzymania dopuszczalnych poziomów pól elektromagnetycznych w środowisku (Dz. U. 2022, poz. 2630) zaznaczając, że wymagane jest wykonanie pomiaru z wykorzystaniem miernika selektywnego. W przypadku uzyskania wyniku pomiaru szerokopasmowego wykonanego zastosowaną metodą, dla zakresów częstotliwości od 10 MHz do 300 GHz, powiększonego o rozszerzoną niepewność pomiaru  $U$  dla współczynnika rozszerzenia  $k = 2$  nieprzekraczającego 70% najniższej dopuszczalnej wartości składowej elektrycznej lub magnetycznej pola dla objętych pomiarami zakresów częstotliwości, nie uwzględnia się poprawek pomiarowych.

### 8.4. Wyposażenie pomiarowe

Zestaw pomiarowy służący do pomiaru natężenia składowej elektrycznej pola elektromagnetycznego złożony z szerokopasmowego miernika i sondy pomiarowej:

Oznaczenie miernika	Producent	Model	Numer fabryczny	Oznaczenie sondy	Producent	Model	Numer fabryczny
MW-05	Wavecontrol	Miernik pól elektromagnetycznych SMP2	22SN2087	SW-10	Wavecontrol	Sonda WPF3-HP	22WP030449

Mierniki natężenia pola elektromagnetycznego podlegają okresowemu sprawdzeniu zgodnie z procedurą wewnętrzną P-03 i PB-01. Świadectwo wzorcowania zestawu pomiarowego z dnia 4 listopada 2022 o numerze LWiMP/W/336/22 wydane przez Politechnika Wrocławską.

Data ważności świadectwa wzorcowania: 4 listopada 2024 (zgodnie z procedurą wewnętrzną P-03).

Oznaczenie miernika	Producent	Model	Numer fabryczny	Oznaczenie sondy	Producent	Model	Numer fabryczny
MW-05	Wavecontrol	Miernik pól elektromagnetycznych SMP2	22SN2087	SW-09	Wavecontrol	Sonda WPF60	22WP230220

Mierniki natężenia pola elektromagnetycznego podlegają okresowemu sprawdzeniu zgodnie z procedurą wewnętrzną P-03 i PB-01. Świadectwo wzorcowania zestawu pomiarowego z dnia 4 listopada 2022 o numerze LWiMP/W/336/22 wydane przez Politechnika Wrocławską.

Data ważności świadectwa wzorcowania: 4 listopada 2024 (zgodnie z procedurą wewnętrzną P-03).

Sprawozdanie z badań bez pisemnej zgody laboratorium nie może być powielane inaczej niż w całości.  
Wynik przedstawione w niniejszym sprawozdaniu odnoszą się wyłącznie do badanego obiektu i do warunków i konfiguracji urządzeń w dniu wykonywania pomiarów.

Termohigrometr:

Oznaczenie:	TH-16	Producent:	AZ INSTRUMENT CORP	Model:	Termohigrometr AZ8706
-------------	-------	------------	--------------------	--------	-----------------------

Data ważności świadectwa wzorcowania: 19 maja 2024 (zgodnie z procedurą wewnętrzną P-03).

Dalmierz:

Oznaczenie	Producent	Typ	Numer seryjny	Nr świadectwa wzorcowania	Data świadectwa wzorcowania
D-18	Leica	Dalmierz Leica Disto D510	1096585932	L4-L41.4180.205.2021.4102.2	16 grudnia 2021

Data ważności świadectwa wzorcowania: 16 grudnia 2031 (zgodnie z procedurą wewnętrzną P-03).

Odbiornik GNSS:

Odbiornik GNSS wbudowany w miernik natężenia pola elektromagnetycznego użyty podczas pomiarów	Producent	Model
	UBlox	MAX-M8Q

Odbiorniki podlegają okresowemu sprawdzeniu zgodnie z procedurą wewnętrzną P-03.

## 9. Wyniki pomiarów

### Pole elektryczne

Nr pionu	Opis umiejscowienia pionu (punktu pomiarowego)	Wysokość pomiaru [m]	Zmierzona wartość natężenia pola elektrycznego E [V/m] <sup>1,5</sup>			Wartość natężenia pola elektrycznego powiększona o niepewność pomiaru <sup>4</sup> E [V/m]	Wskaźnikowa wartość poziomu emisji pól elektromagnetycznych WME <sup>3</sup>	Współrzędne geograficzne pionu (punktu pomiarowego) <sup>2</sup>
			Sonda SW-10	Sonda SW-09	SUMA			
1	GKP w odległości 6m od anteny sektorowej az. 80° i az. 76°	0.3-2.0	<1.0*	<1.0*	<1.0*	1.3	0.05	50°34'43.3" 19°25'9.8"
2	GKP w odległości 45m od anteny sektorowej az. 80° i az. 76°	0.3-2.0	<1.0*	<1.0*	<1.0*	1.3	0.05	50°34'43.3" 19°25'11.6"
3	GKP w odległości 75m od anteny sektorowej az. 80° i az. 76°	0.3-2.0	<1.0*	<1.0*	<1.0*	1.3	0.05	50°34'43.7" 19°25'13.1"
4	GKP w odległości 105m od anteny sektorowej az. 80°	0.3-2.0	<1.0*	<1.0*	<1.0*	1.3	0.05	50°34'43.7" 19°25'14.5"
5	GKP w odległości 5m od anteny sektorowej az. 180°	0.3-2.0	<1.0*	<1.0*	<1.0*	1.3	0.05	50°34'43.0" 19°25'9.5"
6	GKP w odległości 45m od anteny sektorowej az. 180°	0.3-2.0	<1.0*	<1.0*	<1.0*	1.3	0.05	50°34'41.5" 19°25'9.5"
7	GKP w odległości 75m od anteny sektorowej az. 180°	0.3-2.0	<1.0*	<1.0*	<1.0*	1.3	0.05	50°34'40.8" 19°25'9.5"
8	GKP w odległości 105m od anteny sektorowej az. 180°	0.3-2.0	<1.0*	<1.0*	<1.0*	1.3	0.05	50°34'39.7" 19°25'9.5"
9	GKP w odległości 6m od anteny sektorowej az. 340°	0.3-2.0	<1.0*	<1.0*	<1.0*	1.3	0.05	50°34'43.3" 19°25'9.1"
10	GKP w odległości 45m od anteny sektorowej az. 340°	0.3-2.0	<1.0*	<1.0*	<1.0*	1.3	0.05	50°34'44.8" 19°25'8.4"
11	GKP w odległości 75m od anteny sektorowej az. 340°	0.3-2.0	<1.0*	<1.0*	<1.0*	1.3	0.05	50°34'45.5" 19°25'8.0"
12	GKP w odległości 105m od anteny sektorowej az. 340°	0.3-2.0	<1.0*	<1.0*	<1.0*	1.3	0.05	50°34'46.6" 19°25'7.3"
13	GKP w odległości 5m od anteny radioliniowej az. 251°	0.3-2.0	<1.0*	<1.0*	<1.0*	1.3	0.05	50°34'43.0" 19°25'9.1"
14	GKP w odległości 50m od anteny radioliniowej az. 251°	0.3-2.0	<1.0*	<1.0*	<1.0*	1.3	0.05	50°34'42.6" 19°25'7.0"
15	GKP w odległości 5m od anteny radioliniowej az. 269° I az. 281°	0.3-2.0	<1.0*	<1.0*	<1.0*	1.3	0.05	50°34'43.3" 19°25'9.1"
16	GKP w odległości 50m od anteny radioliniowej az. 269°	0.3-2.0	<1.0*	<1.0*	<1.0*	1.3	0.05	50°34'43.3" 19°25'6.6"
17	GKP w odległości 50m od anteny radioliniowej az. 281°	0.3-2.0	<1.0*	<1.0*	<1.0*	1.3	0.05	50°34'43.3" 19°25'6.6"
18	PKP na az. 359° w odległości 86m od anteny sektorowej az. 340°	0.3-2.0	<1.0*	<1.0*	<1.0*	1.3	0.05	50°34'45.8" 19°25'9.1"

Sprawozdanie z badań bez pisemnej zgody laboratorium nie może być powielane inaczej niż w całości.

Wynik przedstawione w niniejszym sprawozdaniu odnoszą się wyłącznie do badanego obiektu i do warunków i konfiguracji urządzeń w dniu wykonywania pomiarów.

19	PKP na az. 62° w odległości 87m od anteny sektorowej az. 80°	0.3-2.0	<1.0*	<1.0*	<1.0*	1.3	0.05	50°34'44.4" 19°25'13.4"
20	PKP na az. 104° w odległości 76m od anteny sektorowej az. 80°	0.3-2.0	<1.0*	<1.0*	<1.0*	1.3	0.05	50°34'42.6" 19°25'13.1"
21	PKP na az. 160° w odległości 88m od anteny sektorowej az. 180°	0.3-2.0	<1.0*	<1.0*	<1.0*	1.3	0.05	50°34'40.4" 19°25'10.9"
22	PKP na az. 200° w odległości 77m od anteny sektorowej az. 180°	0.3-2.0	<1.0*	<1.0*	<1.0*	1.3	0.05	50°34'40.8" 19°25'8.0"
-	GKP w odległości 363m od anteny sektorowej az. 180°	0.3-2.0	<1.0*	<1.0*	<1.0*	1.3	0.05	50°34'31.4" 19°25'9.5"
-	GKP w odległości 324m od anteny sektorowej az. 340°	0.3-2.0	<1.0*	<1.0*	<1.0*	1.3	0.05	50°34'53.0" 19°25'3.7"
-	GKP w odległości 498m od anteny sektorowej az. 80°	0.3-2.0	<1.0*	<1.0*	<1.0*	1.3	0.05	50°34'45.8" 19°25'34.3"

Pole magnetyczne (wyznaczone na podstawie pomiaru wartości natężenia pola elektrycznego)

Nr pionu	Opis umiejscowienia pionu (punktu pomiarowego)	Wysokość pomiaru [m]	Wartość natężenia pola magnetycznego H [A/m] <sup>1</sup>			Wartość natężenia pola magnetycznego powiększona o niepewność pomiaru <sup>4</sup> H [A/m]	Wskaźnikowa wartość poziomu emisji pól elektromagnetycznych WM <sub>H</sub> <sup>3</sup>	Współrzędne geograficzne pionu (punktu pomiarowego) <sup>2</sup>
			Sonda SW-10	Sonda SW-09	SUMA			
1	GKP w odległości 6m od anteny sektorowej az. 80° i az. 76°	0.3-2.0	<0.003*	<0.003*	<0.003*	0.003	0.05	50°34'43.3" 19°25'9.8"
2	GKP w odległości 45m od anteny sektorowej az. 80° i az. 76°	0.3-2.0	<0.003*	<0.003*	<0.003*	0.003	0.05	50°34'43.3" 19°25'11.6"
3	GKP w odległości 75m od anteny sektorowej az. 80° i az. 76°	0.3-2.0	<0.003*	<0.003*	<0.003*	0.003	0.05	50°34'43.7" 19°25'13.1"
4	GKP w odległości 105m od anteny sektorowej az. 80°	0.3-2.0	<0.003*	<0.003*	<0.003*	0.003	0.05	50°34'43.7" 19°25'14.5"
5	GKP w odległości 5m od anteny sektorowej az. 180°	0.3-2.0	<0.003*	<0.003*	<0.003*	0.003	0.05	50°34'43.0" 19°25'9.5"
6	GKP w odległości 45m od anteny sektorowej az. 180°	0.3-2.0	<0.003*	<0.003*	<0.003*	0.003	0.05	50°34'41.5" 19°25'9.5"
7	GKP w odległości 75m od anteny sektorowej az. 180°	0.3-2.0	<0.003*	<0.003*	<0.003*	0.003	0.05	50°34'40.8" 19°25'9.5"
8	GKP w odległości 105m od anteny sektorowej az. 180°	0.3-2.0	<0.003*	<0.003*	<0.003*	0.003	0.05	50°34'39.7" 19°25'9.5"
9	GKP w odległości 6m od anteny sektorowej az. 340°	0.3-2.0	<0.003*	<0.003*	<0.003*	0.003	0.05	50°34'43.3" 19°25'9.1"
10	GKP w odległości 45m od anteny sektorowej az. 340°	0.3-2.0	<0.003*	<0.003*	<0.003*	0.003	0.05	50°34'44.8" 19°25'8.4"
11	GKP w odległości 75m od anteny sektorowej az. 340°	0.3-2.0	<0.003*	<0.003*	<0.003*	0.003	0.05	50°34'45.5" 19°25'8.0"
12	GKP w odległości 105m od anteny sektorowej az. 340°	0.3-2.0	<0.003*	<0.003*	<0.003*	0.003	0.05	50°34'46.6" 19°25'7.3"
13	GKP w odległości 5m od anteny radioliniowej az. 251°	0.3-2.0	<0.003*	<0.003*	<0.003*	0.003	0.05	50°34'43.0" 19°25'9.1"
14	GKP w odległości 50m od anteny radioliniowej az. 251°	0.3-2.0	<0.003*	<0.003*	<0.003*	0.003	0.05	50°34'42.6" 19°25'7.0"
15	GKP w odległości 5m od anteny radioliniowej az. 269° I az. 281°	0.3-2.0	<0.003*	<0.003*	<0.003*	0.003	0.05	50°34'43.3" 19°25'9.1"

Sprawozdanie z badań bez pisemnej zgody laboratorium nie może być powielane inaczej niż w całości.  
Wynik przedstawione w niniejszym sprawozdaniu odnoszą się wyłącznie do badanego obiektu i do warunków i konfiguracji urządzeń w dniu wykonywania pomiarów.

16	GKP w odległości 50m od anteny radioliniowej az. 269°	0.3-2.0	<0.003*	<0.003*	<0.003*	0.003	0.05	50°34'43.3" 19°25'6.6"
17	GKP w odległości 50m od anteny radioliniowej az. 281°	0.3-2.0	<0.003*	<0.003*	<0.003*	0.003	0.05	50°34'43.3" 19°25'6.6"
18	PKP na az. 359° w odległości 86m od anteny sektorowej az. 340°	0.3-2.0	<0.003*	<0.003*	<0.003*	0.003	0.05	50°34'45.8" 19°25'9.1"
19	PKP na az. 62° w odległości 87m od anteny sektorowej az. 80°	0.3-2.0	<0.003*	<0.003*	<0.003*	0.003	0.05	50°34'44.4" 19°25'13.4"
20	PKP na az. 104° w odległości 76m od anteny sektorowej az. 80°	0.3-2.0	<0.003*	<0.003*	<0.003*	0.003	0.05	50°34'42.6" 19°25'13.1"
21	PKP na az. 160° w odległości 88m od anteny sektorowej az. 180°	0.3-2.0	<0.003*	<0.003*	<0.003*	0.003	0.05	50°34'40.4" 19°25'10.9"
22	PKP na az. 200° w odległości 77m od anteny sektorowej az. 180°	0.3-2.0	<0.003*	<0.003*	<0.003*	0.003	0.05	50°34'40.8" 19°25'8.0"
-	GKP w odległości 363m od anteny sektorowej az. 180°	0.3-2.0	<0.003*	<0.003*	<0.003*	0.003	0.05	50°34'31.4" 19°25'9.5"
-	GKP w odległości 324m od anteny sektorowej az. 340°	0.3-2.0	<0.003*	<0.003*	<0.003*	0.003	0.05	50°34'53.0" 19°25'3.7"
-	GKP w odległości 498m od anteny sektorowej az. 80°	0.3-2.0	<0.003*	<0.003*	<0.003*	0.003	0.05	50°34'45.8" 19°25'34.3"

GKP – Główny Kierunek Pomiarowy

PKP – Pomocniczy Kierunek Pomiarowy

<sup>1</sup> wyniki oznaczone \* są wynikami poniżej czułości zestawu pomiarowego i są wynikami spoza zakresu akredytacji. Do obliczenia wyniku skorygowanego przyjęto wartość skorelowaną z rzeczywistym wynikiem pomiaru - dolną granicę akredytowanego zakresu pomiarowego metody

<sup>2</sup> współrzędne geograficzne pozyskane metodą pomiaru bezpośredniego

<sup>3</sup> do wyznaczenia wartości wskaźnikowej  $W_{Me}$  i  $W_{Mh}$  przyjęto na podstawie uzgodnień z klientem oraz rozpoznania źródeł, jako wartości dopuszczalne pola elektrycznego i magnetycznego odpowiednio 28 V/m i 0,073 A/m.

<sup>4</sup> do wyznaczenia niepewności dla wyników poniżej czułości zestawu pomiarowego, przyjęto niepewność dla minimalnej wartości z zakresu pomiarowego.

<sup>5</sup> maksymalna wartość chwilowa

Niepewność oszacowano zgodnie z dokumentem P-03 „Procedura nadzoru nad wyposażeniem” w postaci niepewności rozszerzonej wynikającej z niepewności standardowej pomnożonej przez współczynnik rozszerzenia  $k=2$ .

Całkowita szacowana niepewność rozszerzona składowej E wynosi odpowiednio:

sonda SW-10: 27.6% dla częstotliwości do 3 GHz, sonda SW-09: 27.9% dla częstotliwości do 3 GHz

Umiejscowienie pionów (punktów) pomiarowych przedstawiono w załączniku nr 2 do niniejszego sprawozdania.

## 10. Omówienie wyników pomiarów

W związku z tym, że żadna z wartości zmierzonych, udokumentowanych w tabelach w pkt. 9, uzyskanych w skutek zastosowania pomiaru szerokopasmowego, powiększonego o rozszerzoną niepewność pomiaru U dla współczynnika rozszerzenia  $k = 2$  nie przekroczyła 70% najniższej dopuszczalnej wartości składowej elektrycznej lub magnetycznej pola dla objętych pomiarami zakresów częstotliwości, nie uwzględnia się poprawek pomiarowych.

Sprawozdanie z badań bez pisemnej zgody laboratorium nie może być powielane inaczej niż w całości.  
Wynik przedstawione w niniejszym sprawozdaniu odnoszą się wyłącznie do badanego obiektu i do warunków i konfiguracji urządzeń w dniu wykonywania pomiarów.

W wyniku zastosowania sposobu sprawdzenia dotrzymania dopuszczalnych poziomów pól elektromagnetycznych w środowisku, zgodnie pkt 25 ppkt 1 Rozporządzenia Ministra Klimatu z dnia 17 lutego 2020 r. (Dz. U. 2022, poz. 2630), w związku z tym, że żadna z wartości wskaźnikowych, udokumentowanych w tabelach w pkt. 9 nie przekracza wartości 1, stwierdza się, że w miejscach, w których wykonano pomiary w otoczeniu instalacji radiokomunikacyjnej 52753 (36009N!) KCZ\_WLODOWICE\_GORAWLODOWSKA, dopuszczalne poziomy pól elektromagnetycznych w środowisku należy uznać za dotrzymane.

### **11. Podstawa prawna**

- 1) Ustawa z dnia 27 kwietnia 2001 r. Prawo ochrony środowiska (Dz.U. 2022 poz. 2556)
- 2) Rozporządzenie Ministra Zdrowia z dnia 17 grudnia 2019 r. w sprawie dopuszczalnych poziomów pól elektromagnetycznych w środowisku (Dz. U. 2019, poz. 2448)
- 3) Rozporządzenie Ministra Klimatu z dnia 17 lutego 2020 r. w sprawie sposobów sprawdzania dotrzymania dopuszczalnych poziomów pól elektromagnetycznych w środowisku (Dz. U. 2022, poz. 2630),
- 4) Akredytacja nr AB 419 wydana przez Polskie Centrum Akredytacji (wydanie 21, z dnia 11 kwietnia 2023 r.)

### **12. Spis załączników**

- Załącznik 1. Lokalizacja obiektu badań
- Załącznik 2. Usytuowanie pionów (punktów) pomiarowych
- Załącznik 3. Dokumentacja fotograficzna obiektu badań

### **13. Data wydania i autoryzowania sprawozdania**

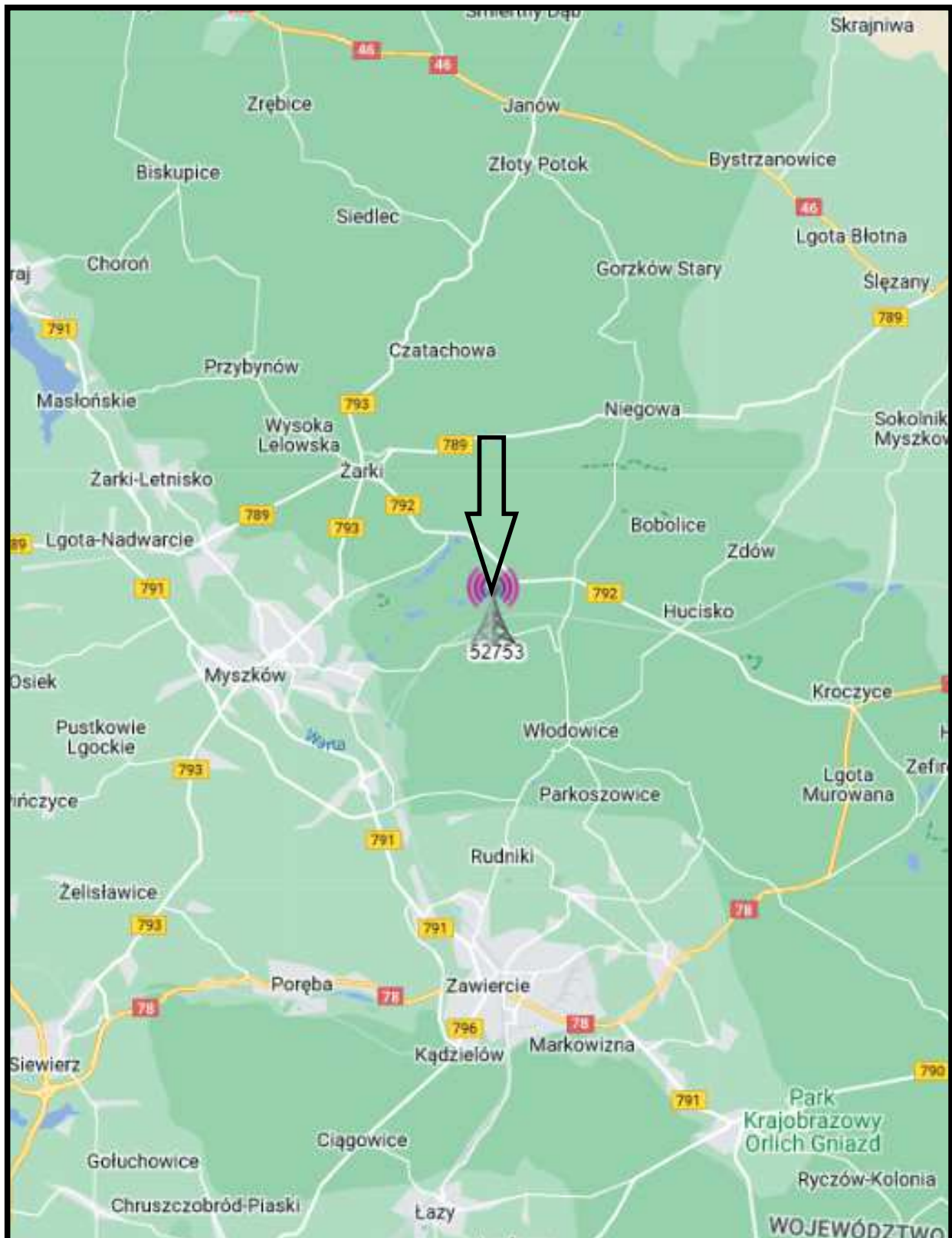
Obliczenia i sprawozdanie wykonał :

Sprawozdanie autoryzował:

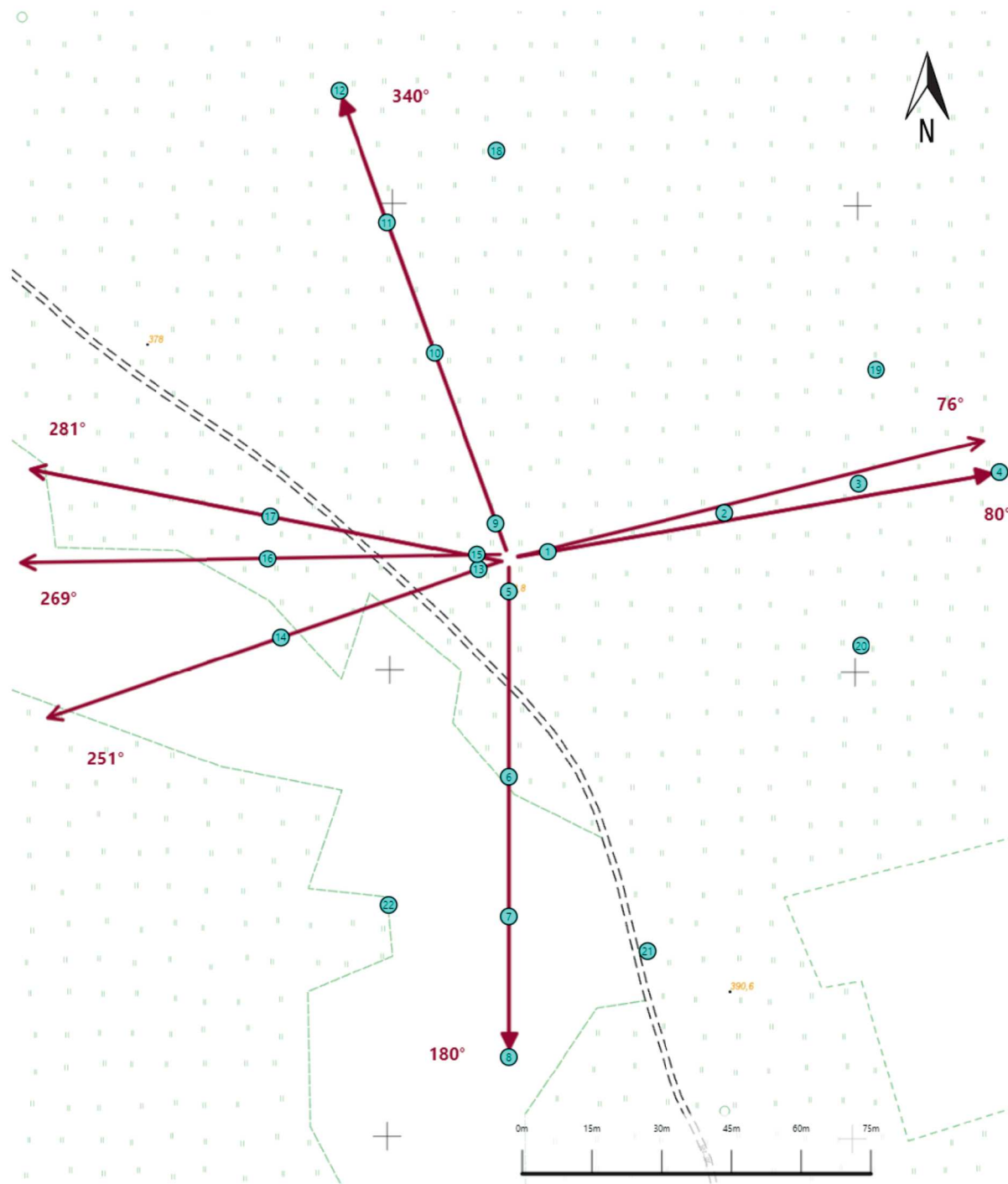
**Koniec sprawozdania**





Sprawozdanie z badań bez pisemnej zgody laboratorium nie może być powielane inaczej niż w całości.  
Wynik przedstawione w niniejszym sprawozdaniu odnoszą się wyłącznie do badanego obiektu i do warunków i konfiguracji urządzeń w dniu wykonywania pomiarów.





<b>Załącznik nr 1</b>	<b>INSTALACJA RADIOKOMUNIKACYJNA T-Mobile Polska S.A. 52753 (36009N!) KCZ_WLODOWICE_GORAWLODOWSKA</b> Lokalizacja instalacji radiokomunikacyjnej
-----------------------	---



Załącznik nr 2	<p style="text-align: center;">Instalacja radiokomunikacyjna T-Mobile Polska S.A.                  KCZ_WLODOWICE_GORAWLODOWSKA (36009N!)                  Usytuowanie pionów pomiarowych w otoczeniu instalacji radiokomunikacyjnej</p>
	<p>Legenda:</p> <div style="display: flex; justify-content: space-around; align-items: flex-start;"> <div style="text-align: center;">                   Brak dostępu             </div> <div style="text-align: center;">                   Pion pomiarowy             </div> <div style="text-align: center;">                   Kierunek oddziaływania                  anten sektorowych             </div> <div style="text-align: center;">                   Kierunek oddziaływania                  anten radioliniowych             </div> </div>



**Załącznik nr 3**

**INSTALACJA RADIOKOMUNIKACYJNA T-Mobile Polska S.A. 52753 (36009N!) KCZ\_WLODOWICE\_GORAWLODOWSKA**  
Zdjęcia instalacji radiokomunikacyjnej